

### III-31 模型床上の水流に関する実験的研究

神戸大学 正員 松梨順三郎

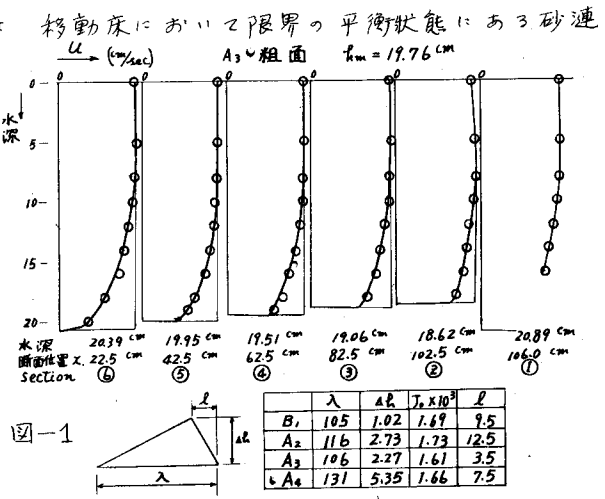
**要旨** 移動床をもつた開水路の流れにおいて、水流と砂連が平衡を維持している状態に着目する。この状態における水流および砂連の特性を理論的に解明するに必要な基礎資料をうるために、砂連形の模型床を作成し、この平衡状態における水流の特性を実験的に解析した。

**1 概説** 掃流力が限界掃流力に達すると、河床の砂礫は移動を開始する。河床が約 $1\text{mm}$ 以下の細砂で構成されることは、掃流力が大きくなつて、ある一定限界以上になると一般に砂連が形成される。いま、この状態で流量を一定に維持すると、砂連はその流量および河床構成砂によって定められた限界の状態まで変形し発展していくと考えられる。そして、砂連の生成過程においては、水面変動は減衰し、水面は平坦になり、水面勾配は平均の河床勾配と平行になるようである。また、この状態では、砂連の波形は一般に安定し、ひずむことなく下流に進行していくようである。筆者はこの限界の平衡状態にあるときの現象に着目し、この状態を水流と砂連が平衡状態にあると定義する。本研究はこの平衡状態における水流の特性について、砂連形模型床を使用し、実験的に検討したものである。

この現象の解明には、移動床を使用し、実際の現象について調査することが望ましいのであるが、ここでは固定模型床を用い、類似の現象を見て、この場合の流れの特性について追求し、得られた資料によつて、実際の現象を推論しようとするのである。模型床を使用した第1の理由は現象が非定常であるので精密な測定が非常に困難であるとしてある。第2の理由は平衡状態のときの砂連は統計的には一様な波形をもつていて、他の砂連の波形はかなり歪みがあること、第3の理由は、砂連の伝播速度は水流の平均流速に対して非常に遅く、その $1/100$ ～ $1/1000$ 程度であるので、固定した砂連形の模型床を使用して、流れの大層的特性にはあまり相違がないであらうと考えたのである。

**2 砂連形模型床** 砂連模型床の製作には、模型床において限界の平衡状態にある砂連の波形についての資料が必要であり、また、模型実験の実施にあたつては、河床の平均勾配 $J$ 、流量または平均水深 $h_m$ が必要である。これらの中の実測資料で信頼しうるもののは数少ない」と考之るのであるが、これらのうちで山口大学の橋博士の研究は高く評価されてゐる。本研究はこの橋博士の実測資料を模型製作上の基礎資料とした。

**3 実験結果** 図-1は模型床上の流速分布の一例を示す。測定位置は一組の砂連に



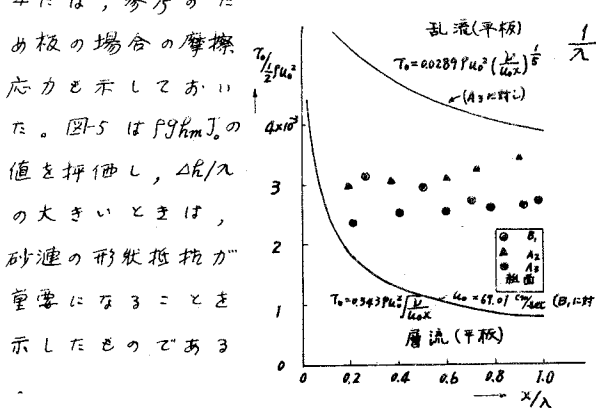
つき上流端から砂漣の頂点までを適当に分割し、合計6ヶ所で測定した。

3 実験結果の検討 実験範囲は  $1600 < U_0 \delta / \nu < 3000$ ,  $10^5 < U_0 \lambda / \nu > 10^6$  である。 $\nu = \nu_0$ ,  $\delta$  はそれぞれ  $U_0 = [U]_{z=\delta}$ ,  $[dU/dz]_{y=\delta} = 0$  で定義される量で、流れの境界層外の流速、境界層の厚さを表す。 $u$  は境界層内の流速、 $\lambda$  は砂漣背面からの鉛直に測った高さ、 $\lambda$  は砂漣の波長、 $\nu$  は水の動粘性係数とする。図-1 から境界層の厚さ  $\delta$  を読みとり、 $U_0 \delta^* = \int_0^\delta (U_0 - u) dz$  で定義される境界層の排除厚さ  $\delta^*$  を面積計算によって求めた。図-2 は排除厚の分布を表す。 $\nu = \nu_0$ ,  $X$  は一ロの砂漣につき上流端を原点として、平均河床勾配に平行に下流側に測った距離である。図-2 には、無限水域に流れに平行におかれた平板の境界層内の排除厚分布が示してある。一般に  $(\lambda/\lambda)$  の値が大きい程、平板の場合と反対の傾向をとるようである。 $\nu = \nu_0$  は砂漣の波高である。つきに境界層内の流れの抵抗法則について考察する。実験範囲から明らかであるように、この流れは乱流である。また図-3 で示したように、ペイントの流れの  $1/4$  分の 1 泊法則が適用されるようである。つきに砂漣背面の摩擦応力について考察する。ペイントの流れの  $1/4$  分の 1 泊法則が適用される場合、ペイントの壁に作用する摩擦応力の関係が、いまの場合に適用されると考之ると、砂漣背面に作用する摩擦応力は、近似的に次式で表わされる。

$T_o = 0.0225 \rho U_0^2 \left( \frac{\nu}{U_0 \delta} \right)^{1/4}$  (1)

ここで、 $\rho$  は水の密度とする。図-4 のプロットよりは(1)式によつてえた値を示す。なお、図-4 には、参考のために極の場合の摩擦応力を示してある。図-5 は  $\rho g h_m J_0$  の値を拡張し、 $\Delta h/\lambda$  の大きいときは、砂漣の形状抵抗が重要なことと示したものである。

図-4



Kg/cm² 図-5 摩擦応力の比較

